

DM 5

pour le jeudi 19 octobre 2023

Problème 1 : L'élément baryum (Mines 2003)

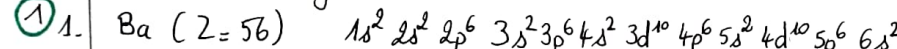
Problème 2 : La capacité thermique des gaz (Mines MP 2017)

Corrigé du DM 5
partie chimie

Pb 9: Mines 2001

Le baryum

A - L'élément baryum

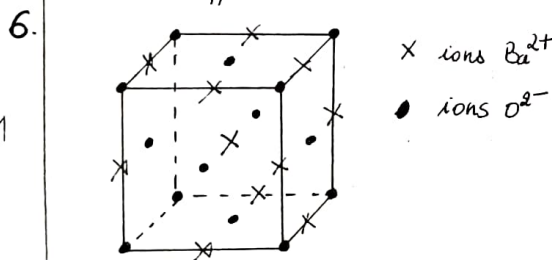


2. Ba se trouve dans la 6^e ligne et la deuxième colonne
C'est un alcalino-torreaux.

3. Ba donne donc des ions Ba^{2+} stables puisqu'ils ont une configuration de gaz rare.

4. O ($Z=8$) $1s^2 2s^2 2p^4$ donne donc des ions O^{2-} qui ont la structure électronique du néon.

5. On détermine la structure des minéraux par diffraction des rayons X ou par diffraction des neutrons.



6. Le contact anion-cation se fait selon l'arête : $R+r = \frac{a}{2}$

$$2(R+r) = 2(140+135) = 2 \times 275 = 550 \text{ pm}$$

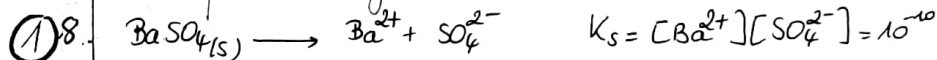
On a bien $2(R+r)=a$ avec l'inertitudo de mesure.

$$\rho = \frac{NM(BaO)}{a^3 N_A} \quad \text{nb d'ions / maille} \quad O^{2-} : 8 \times \frac{1}{8} + 6 \times \frac{1}{2} = 4$$

$$\rho = 4 \times \frac{(M(Ba)+M(O))}{N_A a^3} = 4 \times \frac{(137+16) \cdot 10^{-3}}{(553 \cdot 10^{-12})^3 \cdot 6,0 \cdot 10^{23}} \approx 60 \cdot 10^3 \text{ kg m}^{-3}$$

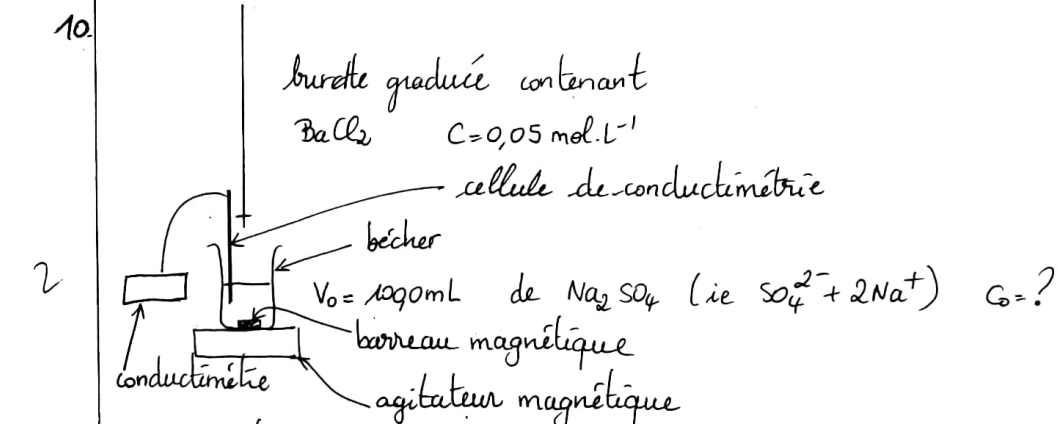
7. $\left. \begin{array}{l} \text{nombre de baryum} : 8 \times \frac{1}{8} = 1 \\ \text{nombre de titane} : 1 \\ \text{nombre d'oxygène} : 6 \times \frac{1}{2} = 3 \end{array} \right\}$ La formule est donc $BaTiO_3$

B - le sulfate de baryum

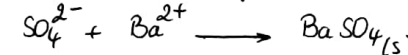


9. A la limite d'apparition du précipité $K_s = s^2$
or $M(BaSO_4) = 137 + 32 + 4 \times 16 = 233 \text{ g.mol}^{-1}$
 $s = \sqrt{K_s} = \sqrt{10^{-10}} = 10^{-5} \text{ mol.L}^{-1}$

10. D'où une solubilité de $x = s \times M = 1,33 \cdot 10^{-3} \text{ g/L}$



12. La réaction de dosage est



13. A l'équivalence $CV_{eq} = C_0 V_0$

$$C_0 = \frac{CV}{V_0} = \frac{0,05 \times 12,00}{100,0} = 6,0 \cdot 10^{-3} \text{ mol.L}^{-1}$$

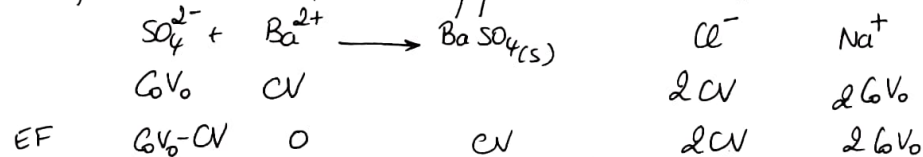
14. Lorsqu'une goutte est versée, si il n'y a pas précipitation alors $[Ba^{2+}] = \frac{CV}{V_0 + V} \sim \frac{CV}{V_0} = 0,05 \times \frac{100}{100} = 25 \cdot 10^{-6} \text{ mol.L}^{-1}$

alors $[Ba^{2+}][SO_4^{2-}] = 25 \cdot 10^{-6} \times 6,0 \cdot 10^{-3} = 150 \cdot 10^{-9} > K_s = 10^{-10}$

ce qui est impossible $\rightarrow BaSO_4$ précipite dès la 1^{re} goutte.

$$14. \quad f = \sum_i c_i \lambda_i^o$$

Avant l'équivalence, l'ajout de BaCl_2 provoque la disparition de SO_4^{2-} et l'apparition de 2Cl^- .



Avant l'équivalence $f = \lambda_{\text{Cl}^-} \frac{2cV}{V+V_0} + \lambda_{\text{Na}^+} \frac{2cV_0}{V+V_0} + \lambda_{\text{SO}_4^{2-}} \frac{cV_0 - cV}{V+V_0}$

Si on néglige la dilution alors $V_0 + V \approx V_0$

$$f \approx \left(2\lambda_{\text{Cl}^-} - \lambda_{\text{SO}_4^{2-}}\right) \frac{cV}{V_0} + \lambda_{\text{Na}^+} 2c + \lambda_{\text{SO}_4^{2-}} \frac{cV_0 - cV}{V_0}$$

or $2\lambda_{\text{Cl}^-} - \lambda_{\text{SO}_4^{2-}} = -1 \text{ m.s.m}^2.\text{mol}^{-1}$ conductivité initiale

2) f diminue avant l'équivalence (à peu près linéairement)

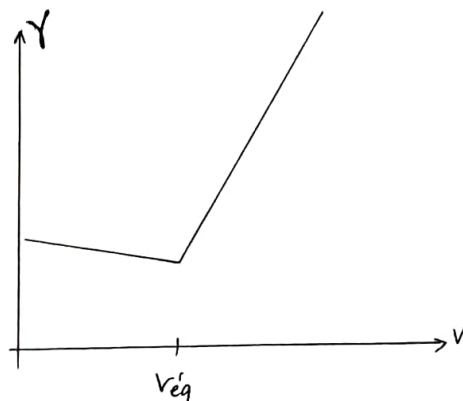
après l'équivalence

$$[\text{SO}_4^{2-}] \approx 0 \quad [\text{Ba}^{2+}] = c(V - V_{\text{éq}})$$

$$f = \lambda_{\text{Cl}^-} - \frac{2cV}{V} + \lambda_{\text{Na}^+} 2c + \lambda_{\text{Ba}^{2+}} \frac{c(V - V_{\text{éq}})}{V}$$

f augmente fortement après l'équivalence.

L'allure de la courbe est donc la suivante:

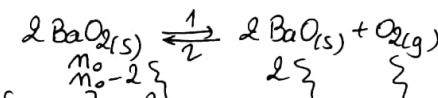


④ C- Le peroxyde de baryum

I. Etude à l'équilibre

independants

15. variance: nombre de paramètres intensifs que l'on peut faire varier sans changer l'état du système
au nombre de paramètres intensifs indépendants qu'il faut fixer pour pouvoir déterminer entièrement l'état du système.



$$\begin{aligned} P &= \left\{ P, T \right\} : 2 \\ Q &= \left\{ K^\circ(T) \right\} : 1 \end{aligned} \quad \vartheta = P - Q \quad \vartheta = 1 \quad \text{l'équilibre est monovariant.}$$

$$K^\circ(T) = \left(\frac{P_{\text{éq}}}{P^\circ} \right)$$

A l'équilibre à $T = 727^\circ\text{C}$ $P = \frac{P_{\text{O}_2}}{P^\circ} = 0,166 \text{ bar}$

$$\text{d'où } P_{\text{O}_2} V = n_{\text{O}_2} RT = \left\{ \frac{RT}{P^\circ} \right\} V \quad \text{soit} \quad \left\{ \frac{P_{\text{O}_2} V}{RT} \right\} = \frac{0,166 \cdot 10^5 \cdot 2,4 \cdot 10^{-3}}{8,3 \times (727 + 273)} = 4,8 \cdot 10^{-3} \text{ mol} \\ = 1000$$

$$\text{or } n(\text{BaO}_{(s)})_{\text{éq}} = 2 \left\{ \frac{V}{RT} \right\} = 9,6 \cdot 10^{-3} \text{ mol}$$

$$n(\text{BaO}_{(s)})_{\text{éq}} = n_{\text{O}_2} - 2 \left\{ \frac{V}{RT} \right\} = \frac{m_{\text{O}_2}}{M(\text{BaO}_2)} - 2 \left\{ \frac{V}{RT} \right\} = 50 \cdot 10^{-3} - 2 \left\{ \frac{V}{RT} \right\} = 40,4 \cdot 10^{-3} \text{ mol}$$

$$\text{ou } M(\text{BaO}_2) = (M(\text{Ba}) + 2M(\text{O})) = 137 + 2 \times 16 = 169 \text{ g.mol}^{-1}$$

18. On ajoute du dioxygène gazeux

$$\Delta G = RT \ln \left(\frac{Q}{P^\circ} \right) \quad \text{si on ajoute O}_2 \text{ alors } Q = \left(\frac{P_{\text{O}_2}}{P^\circ} \right) > K^\circ$$

d'où $\Delta G < 0$ la réaction se produit dans le sens \rightarrow
l'introduction de $\text{BaO}_{(s)}$ en petite quantité ne change pas la valeur de $Q \Rightarrow \Delta G = 0$: il n'y a pas d'effet.

5

20. La réaction est favorisée par les hautes températures: elle est endothermique ($\Delta_rH^\circ > 0$).

1

Rupture d'équilibre

21. Si $p < p_{\text{éq}}$ alors $\Delta_f G = RT \ln\left(\frac{P}{P_{\text{éq}}}\right) < 0$ la réaction se produit dans le sens $\xrightarrow{1}$ jusqu'à consommation totale de BaO_2 : il y aura rupture d'équilibre.

2

$p < p_{\text{éq}}$: BaO et O_2 sont en présence BaO_2 est entièrement consommé.

1

Alors $v=2$ car on n'a plus d'équilibre.

22. Inversement si $p > p_{\text{éq}}$ alors $\Delta_f G > 0$ la réaction se produit jusqu'à la rupture d'équilibre BaO disparaît des phases en présence sont alors:

2

$\text{BaO}_{2(s)}$ et $\text{O}_{2(g)}$

et comme précédemment $v=2$.

23. Si l'équilibre est atteint alors $P_{\text{O}_2} = 1,245 \text{ bar}$, soit

$$n_{\text{O}_2} = \xi = \frac{1,245 \cdot 10^5 \times 2,4 \cdot 10^{-3}}{8,3 \times (927+273)} = 0,03 \text{ mol}$$

2

or $n_0 = 50 \cdot 10^{-3} \text{ mol}$ d'où $\xi_{\text{max}} = \frac{n_0}{2} = 25 \cdot 10^{-3} = 0,025 \text{ mol}$.

ie on ne peut pas atteindre l'équilibre. Il y a rupture d'équilibre $\text{BaO}_{2(s)}$ est entièrement consommé et $\xi = 0,025 \text{ mol}$
d'où $n(\text{BaO}_{2(s)}) = 0$

2

$$n(\text{BaO}_{2(s)}) = 2\xi = 0,05 \text{ mol}$$

$$n(\text{O}_2) = \xi = 0,025 \text{ mol} \quad \text{d'où} \quad P_{\text{O}_2} = \frac{\xi RT}{V}$$

6

24.

$$p = 1,66 \text{ bar} > p_{\text{éq}} \rightarrow n(\text{BaO}_{2(s)} \text{ éq}) = 0$$

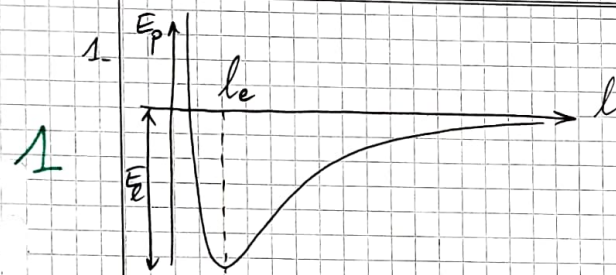
$$\text{d'où} \quad n(\text{BaO}_{2(s)}) = n_0 = 0,05 \text{ mol}$$

$$n_{\text{O}_2} = n = \frac{pV}{RT} = \frac{1,66 \cdot 10^5 \times 2,4 \cdot 10^{-3}}{8,3 \times (927+273)} = 0,04 \text{ mol}$$

①

La capacité thermique des gaz

I De la molécule à l'oscillateur harmonique



Si on choisit $E_p = 0$ pour $l \rightarrow \infty$, alors
 $E_l = -E_p(l_e)$

1. 2. $l_e \approx 100 \text{ pm} = 0,1 \text{ nm}$
 $E_l = 100 \text{ kJ.mol}^{-1}$

3. si l varie peu autour de l_e , alors on peut approximer $E_p(l)$ à une parabole d'équation :

$$E_p(l) = E_p(l_e) + \frac{(l-l_e)^2}{2} \left(\frac{d^2 E_p}{dl^2} \right)_{l=l_e}$$

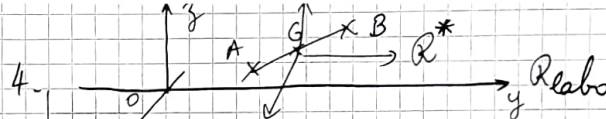
Ceci est alors l'équivalent de l'énergie potentielle élastique d'un ressort dont la longueur à vide est l_e

$$E_p(l) = E_p(l_e) + \frac{1}{2} k (l-l_e)^2$$

$$k = \left(\frac{d^2 E_p}{dl^2} \right)_{l=l_e}$$

2

②



4.

1

$$E_C = E_{CA} + E_{CB} = \frac{1}{2} m_A v_A^2 + \frac{1}{2} m_B v_B^2$$

5. Le théorème d'équipartition conduit à

$$\frac{1}{2} m (v_x^2 + v_y^2 + v_z^2) = 3 \times \frac{1}{2} k_{\text{C}} T = \frac{1}{2} m \langle v^2 \rangle$$

1

1

$$v^* = \sqrt{\langle v^2 \rangle} = \sqrt{\frac{3 k_{\text{C}} T}{m}} = \sqrt{\frac{3 RT}{M}}$$

A.N. Pour l'air à 300K $v^* \approx \sqrt{\frac{3 \times 25 \times 300}{3 \times 30 \cdot 10^{-3}}} = 5 \cdot 10^2 \text{ m.s}^{-1}$

6. $E_m = E_C + E_p = \frac{1}{2} m_A v_A^2 + \frac{1}{2} m_B v_B^2 - E_l + \frac{1}{2} k (l-l_e)^2$

7. le référentiel barycentrique est en translation par rapport au référentiel du laboratoire supposé galiléen.

On suppose la molécule isolée : G a donc un mouvement de translation rectiligne uniforme par rapport à R_{labo} , R^* est donc galiléen

8.

$$\vec{v}_A = \vec{v}_G + \frac{d}{dt} \vec{GA} \quad \text{or} \quad \vec{GA} = \frac{m_B}{m_A+m_B} \vec{BA} = -\frac{m_B}{m_A+m_B} \vec{AB}$$

$$\vec{v}_A^2 = \left(\vec{v}_G - \frac{m_B}{m_A+m_B} \vec{v} \right)^2 = \vec{v}_G^2 - \frac{m_B}{m_A+m_B} \vec{v}_G \cdot \vec{v} + \left(\frac{m_B}{m_A+m_B} \right)^2 \vec{v}^2$$

$$\text{De même } \vec{v}_B^2 = \vec{v}_G^2 + \frac{m_A}{m_A+m_B} \vec{v}_G \cdot \vec{v} + \left(\frac{m_A}{m_A+m_B} \right)^2 \vec{v}^2$$

$$E_C = \frac{1}{2} m_A \vec{v}_A^2 + \frac{1}{2} m_B \vec{v}_B^2 = \frac{1}{2} (m_A+m_B) \vec{v}_G^2 + \frac{1}{2} \frac{m_A m_B}{m_A+m_B} \vec{v}^2$$

2

On note $m = m_A + m_B$

et $\mu = \frac{m_A m_B}{m_A + m_B}$

la masse totale
la masse réduite

(3)

$$E_C = \frac{1}{2} m v_G^2 + \frac{1}{2} \mu r^2$$

Et on a donc bien

$$E_m + E_l = \frac{1}{2} (m v_G^2 + \mu r^2 + k r^2) \text{ où } r = l - le$$

9. $\vec{v} = \frac{d\vec{AB}}{dt}$ avec $\vec{AB} = l(t)\vec{e}_r$

$$\frac{d\vec{AB}}{dt} = \frac{dl}{dt}\vec{e}_r + l(t)\frac{d\vec{e}_r}{dt}$$

$$\frac{d\vec{e}_r}{dt} = \vec{\omega} \wedge \vec{e}_r$$

$$v^2 = \dot{l}^2 + 2l\dot{l}\vec{e}_r \cdot \frac{d\vec{e}_r}{dt} + l^2 \|\frac{d\vec{e}_r}{dt}\|^2$$

vecteur rotation de la molécule

or $\|\vec{e}_r\|^2 = 1 \Rightarrow \frac{d\|\vec{e}_r\|^2}{dt} = 2\vec{e}_r \cdot \frac{d\vec{e}_r}{dt} = 0$.

$$v^2 = \dot{l}^2 + l^2 \|\frac{d\vec{e}_r}{dt}\|^2 \text{ où } \dot{l} = \ddot{l}$$

2. $E_m = \underbrace{\frac{1}{2} m v_G^2}_{E_{ha}} + \underbrace{\left(\frac{1}{2} k r^2 + \frac{1}{2} \mu r^2 \right)}_{E_{vib}} + \underbrace{\frac{1}{2} \mu l^2 \left| \frac{d\vec{e}_r}{dt} \right|^2}_{E_{rot}} - E_l$

II

Capacité thermique d'un gaz parfait diatomique

10. Dans la limite thermodynamique (N très grand), l'énergie totale varie très peu autour de sa valeur moyenne =

$$U = N \langle E_m \rangle$$

11. Pour un système de particules indépendantes, à l'équilibre thermique avec un thermostat à la température T , chaque terme quadratique indépendant contribue pour $\frac{1}{2} k_B T$

1

(4)

à l'énergie moyenne par particule.

12. $E_{ha} = \frac{1}{2} m v_G^2 = \frac{1}{2} m (v_{Gx}^2 + v_{Gy}^2 + v_{Gz}^2) \Rightarrow \langle E_{ha} \rangle = \frac{3}{2} k_B T$

1. $E_{vib} = \frac{1}{2} \mu r^2 + \frac{1}{2} k r^2 = 0 \Rightarrow \langle E_{vib} \rangle = k_B T$

$$E_{rot} = \frac{1}{2} \mu l^2 \left| \frac{d\vec{e}_r}{dt} \right|^2$$

et $\frac{d\vec{e}_r}{dt} \cdot \vec{e}_r = 0 \Rightarrow \frac{d\vec{e}_r}{dt}$ a 2 composantes seulement selon \vec{e}_x et \vec{e}_y

1. $\langle E_{rot} \rangle = 2 \times \frac{1}{2} k_B T = k_B T$

Finalement $\langle E_m \rangle = \frac{3}{2} + 1 + 1 k_B T = \frac{7}{2} k_B T$

$U = \frac{7}{2} N k_B T = \frac{7}{2} m R T$ où m est le nombre de molécules

1. $\Rightarrow C_v = \frac{7}{2} R$

13. On constate sur la courbe expérimentale proposée que $C_v = \frac{7}{2}$ uniquement pour le dichlore, au-delà de $10^3 K$ environ. Le modèle classique (théorème d'équipartition de l'énergie) ne semble donc être valable qu'à haute température

1

(5)

IV Capacité thermique et quantification

22. $\pi(E_m)$ est sans dimension, E_m est une énergie et $k_B T$ aussi $\Rightarrow \beta = \frac{1}{k_B T}$

23. La probabilité doit être normalisée de sorte que

$$\sum_{m=0}^{\infty} \pi(E_m) = 1 \Rightarrow A \sum_{m=0}^{\infty} \exp\left(-\beta\left(m+\frac{1}{2}\right)\hbar\omega\right) = 1$$

$$A e^{-\frac{\beta\hbar\omega}{2}} \times \sum_{m=0}^{\infty} e^{-m\beta\hbar\omega} = 1$$

$$A e^{-\frac{\beta\hbar\omega}{2}} \times \frac{1}{1 - e^{-\beta\hbar\omega}} = 1 \Rightarrow A = \frac{1 - e^{-\beta\hbar\omega}}{e^{-\beta\hbar\omega/2}}$$

$$A = e^{\frac{\beta\hbar\omega}{2}} - e^{-\frac{\beta\hbar\omega}{2}} = 2\operatorname{sh}\left(\frac{\beta\hbar\omega}{2}\right) = \frac{1}{3}$$

$$24. \langle E \rangle = N \sum_{m=0}^{\infty} E_m \pi(E_m) = N \sum_{m=0}^{\infty} E_m \frac{\exp(-\beta E_m)}{\sum_{m=0}^{\infty} \exp(-\beta E_m)}$$

$$\langle E \rangle = N \frac{1}{3} \left(\frac{d^2}{d\beta^2} \right)$$

$$\beta = \frac{1}{2\operatorname{sh}\left(\frac{\beta\hbar\omega}{2}\right)} \Rightarrow \frac{d\beta}{d\beta} = -\frac{1}{2} \times \frac{\hbar\omega}{2} \frac{\operatorname{ch}\left(\frac{\beta\hbar\omega}{2}\right)}{\operatorname{sh}\left(\frac{\beta\hbar\omega}{2}\right)^2}$$

$$\langle E \rangle = \frac{N\hbar\omega}{42} \frac{\operatorname{ch}\left(\frac{\beta\hbar\omega}{2}\right)}{\operatorname{sh}\left(\frac{\beta\hbar\omega}{2}\right)} \times \cancel{2} \cancel{\operatorname{sh}\left(\frac{\beta\hbar\omega}{2}\right)}$$

$$\langle E \rangle = N \frac{\hbar\omega}{2} \frac{1}{\operatorname{th}\left(\frac{\beta\hbar\omega}{2}\right)}$$

Résumé : à basse température ($\beta\hbar\omega \gg 1$)
 $\operatorname{th}\left(\frac{\beta\hbar\omega}{2}\right) \approx 1$, $\langle E \rangle \approx N \frac{\hbar\omega}{2}$: tous les oscillateurs

(6) sont dans le niveau fondamental d'énergie $\frac{\hbar\omega}{2}$.

$$25. C_V m = \frac{1}{n} \frac{d\langle E \rangle}{dT} = \frac{1}{n} \frac{d\langle E \rangle}{d\xi} \frac{d\xi}{dT} \text{ où } \xi = \frac{1}{2} \beta\hbar\omega$$

$$C_V m = \frac{N}{m} \frac{\hbar\omega}{2} \left(\frac{-1}{8\operatorname{sh}^2(\xi)} \right) \left(\frac{1}{2} \frac{\hbar\omega}{k_B T^2} \right)$$

$$C_V m = \frac{N}{m} k_B \left(\frac{\hbar\omega}{k_B T} \right)^2 \frac{1}{\operatorname{sh}^2(\xi)}$$

2

$$C_V m = R \frac{\xi^2}{\operatorname{sh}^2(\xi)}$$

$$26. C_V m = R \frac{\left(\frac{T_v}{2T}\right)^2}{\operatorname{sh}^2\left(\frac{T_v}{2T}\right)}$$

$$\xi = \frac{\beta\hbar\omega}{2} = \frac{T_v}{2T} = \frac{1}{u}$$

1

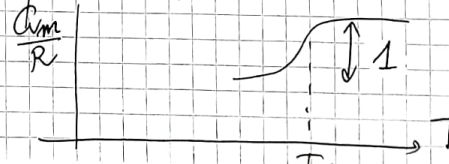
$$C_V m = R \chi(u)$$

27. La figure 2 représente $\frac{C_V m}{R}$ en fonction de $\frac{2T}{T_v}$ = u.

1

Ce modèle de l'oscillateur harmonique quantique représente la partie vibrationnelle de l'énergie. On retrouve à haute température la contribution R à la capacité thermique ($T \gg T_v$)

Le tableau donne $T_v = 808 \text{ K}$ pour ce. On obtient bien la forme relevée expérimental pour $\chi(u)$, et la contribution R à $C_V m$.



Théorie et expérience sont en accord.